

مجله علوم آماری، پاییز و زمستان ۱۳۹۳

جلد ۸، شماره ۲، ص ۲۲۳-۲۴۳

نحوه خوشبندی آماری داده‌های شکل

مهناز نبیل، موسی گل‌علی‌زاده

گروه آمار، دانشگاه تربیت مدرس

تاریخ دریافت: ۱۳۹۲/۱۱/۲۳ تاریخ آخرین بازنگری: ۱۳۹۳/۶/۲۶

چکیده: اخیراً به کارگیری ابزارهای آمار چندمتغیره برای تحلیل داده‌هایی که به صورت هندسی تصادفی هستند مورد اقبال محققین علوم کاربردی قرار گرفته است. آمارشکل به عنوان شاخه جدیدی از هندسه تصادفی شامل مجموعه‌ای از چنین داده‌هایی است. با این حال، چون چنین داده‌هایی ماهیت غیراقلیدسی دارند نحوه تطبیق ابزارهای مرسوم چندمتغیره برای تحلیل آماری مناسب آن‌ها تا حدودی واضح نیست. در این مقاله نحوه خوشبندی داده‌های آمارشکل مطالعه شده، سپس عملکرد آن با رویکرد مرسوم آمار چندمتغیره به این موضوع در قالب تحلیل مثال کاربردی مرتبط با استخوان فمور ران مورد مقایسه قرار می‌گیرد.

واژه‌های کلیدی: خوشبندی، هندسه تصادفی، تحلیل آماری شکل، فواصل آماری، استخوان فمور ران.

۱ مقدمه

داده‌های چندمتغیره که شامل متغیرهای کمی، کیفی یا تلفیقی از آن‌ها باشند را می‌توان توسط مدل‌های متنوعی شامل تحلیل چندمتغیره پیوسته و گسسته مورد

آدرس الکترونیک مسئول مقاله: موسی گل‌علی‌زاده، golalizadeh@modares.ac.ir
کد موضوع بنای ریاضی (۲۰۱۰)، ۶۲P۱۰، ۳۲C۰۵

مطالعه قرار داد. شاخه جدیدی از آمار که برای تحلیل داده‌های چندمتغیره مدنظر گرفته شده، مطالعه آماری ساختار هندسی داده‌ها است که به آمارشکل^۱ معروف شد (کندال، ۱۹۸۴؛ اسمال، ۱۹۹۶؛ درایدن و ماردیا، ۱۹۹۸). یکی از شروط اصلی تحلیل در این حوزه، حفظ ساختار هندسی اولیه در تمامی مراحل تحلیل آماری است. ابزارهای معرفی شده در این شاخه تحت نام تحلیل آماری شکل با فعالیت‌های ارزشمند کندال و بوک استاین در دهه ۷۰ وارد حوزه آمار شده است (کندال، ۱۹۷۷؛ بوک استاین، ۱۹۷۸). تعریف رسمی (بر اساس مفهوم ریاضی) شکل به عنوان سنگبنای تحلیل آماری شکل، توسط کندال (۱۹۷۷) به صورت زیر ارائه شد:

شکل تمامی اطلاعات هندسی حاصل از حذف اثرات دوران، مکان و مقیاس است که از یک شیء باقی می‌ماند.

در روش‌های استاندارد آمارشکل، ابتدا تعدادی نقاط شاخص روی کران اطراف شیء قرار داده شده و مختصات آنها توسط دستگاه مختصات دلخواهی (عموماً دکارتی یا قطبی) تعیین می‌شوند. سپس مراحل از بین بردن اثرات انتقال، مقیاس و دوران روی مجموعه نقاط انتخابی اجرا و بر اساس نوع تبدیلات اعمال شده، که منجر به قرارگیری داده‌ها در فضایی موسوم به فضای شکل می‌گردد، تحلیل‌های آماری متناسب با آنها صورت می‌گیرند. لازم به اشاره است که در این مقاله اخذ نمونه تنها از قسمت‌های بیرونی اشیاء مورد مطالعه قرار گرفته و اخذ اطلاعات از بخش درونی آنها، که از موضوعات نوین تحقیق آمارشکل است (دورمن و همکاران، ۲۰۱۳)، صرف‌نظر شده است. نکته مهم و اساسی مرتبط با تحلیل آمارشکل این است که داده‌های تبدیل شده در فضایی غیرخطی (ناقلیدسی) قرار می‌گیرند (پنک، ۱۹۹۹). بهمین دلیل، داشتن متری مناسب برای اندازه‌گیری فاصله بین شکل‌ها و دسته‌بندی مجموعه‌ای از شکل‌ها، از ضروریات اساسی تحلیل داده‌های شکل است.

خوشبندی داده‌های شکل با استفاده از ابزارهای آمار چندمتغیره از موضوعات مورد توجه در حوزه آمار کاربردی است. اما، منابع موجود در این حوزه تنها محدود

^۱ Shape statistics

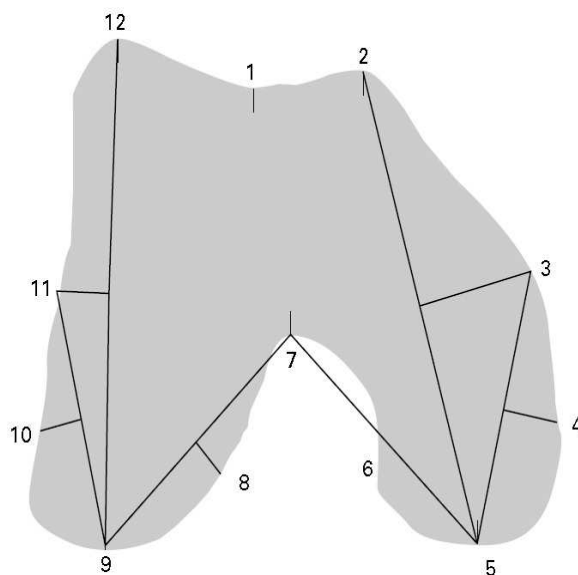
به سریواستاوا و همکاران (۲۰۰۵)، آمارال و همکاران (۲۰۱۰) و ایشیهارا و همکاران (۲۰۱۱) است. با این حال، به جز منبع دوم دو منبع دیگر از ابزارهای آماری غیر شکل برای خوشبندی اشیاء استفاده کردند. به طور کلی، آنچه که می‌توان از دید محقق آمار چندمتغیره برای خوشبندی داده‌های شکل عنوان کرد، این است که کلیدی ترین ابزار برای این مهم، داشتن معیاری جامع از فاصله است. شاید فواصل آماری شکل برای معرفی واریانس شکل مناسب باشند اما برای دسته‌بندی آنها بر اساس روش‌های موجود خوشبندی، از کارایی لازم برخوردار نیستند. این موضوع ناشی از ماهیت غیرکلیدی داده‌های شکل است. لذا، هدف مقاله حاضر مطالعه نحوه خوشبندی آماری داده‌های شکل و مقایسه آن با رویکرد مرسوم آمار چندمتغیره است.

در این مقاله خلاصه‌ای از مفاهیم آمارشکل و بعضی از فواصل مناسب داده‌های شکل در بخش ۲ ارائه می‌شود. سپس، نحوه انجام آزمون برابری میانگین‌های شکل در بخش ۳ تشریح می‌شود تا توسط آن ضرورت خوشبندی داده‌های شکل مورد بررسی قرار گیرد. آنگاه، در بخش ۴ خوشبندی داده‌های مورد مطالعه با دو رویکرد عدم حفظ ساختار هندسی (تحلیل استاندارد چندمتغیره) و حفظ ویژگی هندسی اشیاء (تحلیل در فضای شکل) صورت گرفته و در نهایت تفاوت نتایج حاصل از این دو رویکرد مورد ارزیابی قرار می‌گیرد. نتیجه‌گیری کلی نیز در انتهای مقاله آمده است. بیان این نکته ضروری است که کلیه محاسبات آماری این مقاله با استفاده از بسته shapes در نرم افزار آماری R نسخه ۳.۱.۰ انجام شده است.

۲ مقدمه‌ای بر آمارشکل

شپستون و همکاران (۱۹۹۹) در تحقیقی تصویر مقطع بالایی از ۶۸ استخوان فمور ران پا را مورد بررسی قرار دادند. آنها با قرار دادن دوربینی در فاصله‌ای مشخص از مقطع بالایی تمامی فمورها، تصویرهای مورد نیاز را به دست آورده و سپس با قرار دادن ۱۲ نقطه روی قسمت بیرونی سطح مقطع، مختصات دکارتی دو بعدی نقاط انتخابی را ثبت کردند. تصویر یکی از استخوان‌ها و مکان هندسی نقاط شاخص

ثبت شده در شکل ۱ آمده است.



شکل ۱: تصویر مقطع بالایی استخوان فمور ران و مکان نقاط شاخص روی آن

داده‌ها دارای دو متغیر رسته‌ای نیز هست که یکی از آنها، متغیر "سمت" است که طرف پای متناظر با فمور را نشان می‌دهد و مقدار آن می‌تواند معرف پای چپ یا راست باشد. دیگری متغیر "وضعیت" است که وضعیت سطح مقطع استخوان از جهت مقدار غضروف باقی‌مانده را نشان می‌دهد که به دو گروه عاجی شده^۲ و عاجی نشده^۳ تقسیم می‌شود.

برای تحلیل داده‌های شکل، ابتدا استانداردسازی آن‌ها بر روی مختصات دکارتی شان صورت می‌گیرد. برای این منظور، توابع ریاضی متفاوتی وجود دارند که به کارگیری هر کدام منجر به مختصات مختلفی از شکل می‌شود. مرسوم‌ترین مختصات از بین آن‌ها عبارتند از مختصات کندال^۴ (کندال، ۱۹۸۴)، بوک استاین^۵

^۲ Eburnated

^۳ Non-Eburnated

^۴ Kendall coordinates

^۵ Bookstein coordinates

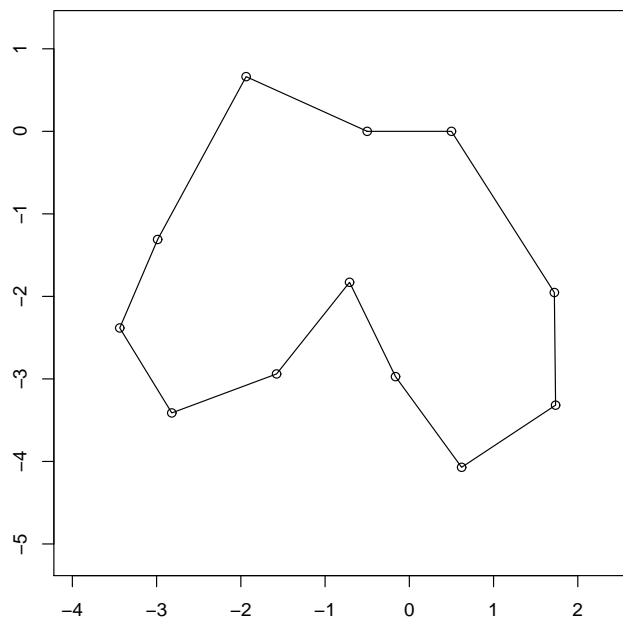
(بوک استاین، ۱۹۸۶)، و پروکراسیس^۶ (گودال، ۱۹۹۱). جزئیات محاسباتی کلی برای محاسبه این مختصات در درایدن و ماردیا (۱۹۹۸) موجود است. مختصات بوک استاین از ساده‌ترین مختصات شکل بوده و برای شخصی که بخواهد به لحاظ چشمی با آمارشکل ارتباط برقرار کند، بسیار مفید است، چرا که تعداد دیگری از مختصات مثل کنдал نمایش هندسی واضحی ندارند. به زبانی دقیق‌تر، برای نمایش هندسی اشکال با استفاده از آن مختصات باید از تصویر کره سه بعدی یا با بعدهای بالاتر در صفحه مختصات دکارتی استفاده کرد که در برخی از موقع امری آسان نیست. کنдал و همکاران (۱۹۹۹) سعی کردند با استفاده از هندسه تصادفی و مقاهیم توپولوژی نحوه نمایش در کره را ارائه کنند. البته از نقطه نظر ریاضی وقتی که اشیاء در فضای دو بعدی قرار دارند تناظر یک به یکی بین مختصات مطرح شده وجود دارد که در آن صورت مجدد نقش مختصات بوک استاین به دلیل نمایش مستقیم اشکال در صفحه دکارتی بر جسته‌تر خواهد شد. اما باید اشاره شود که برای مقصود مقاله حاضر، مختصات پروکراسیس از اهمیت بیشتری نسبت به بقیه برخوردار است. شاید بتوان گفت یکی از این دلایل مربوط به وجود معیاری واقعی از فاصله بین شکل‌ها در تعریف چنین مختصات از داده‌های شکل است. با این حال، برای درک بهتری از داده‌های مربوط به ۶۸ استخوان فمور ران نمایش هندسی مختصات بوک استاین میانگین شکل (M_{Book}) آن‌ها در شکل ۲ آمده است.

بنا به ماردیا و همکاران (۱۹۷۹) تحلیل پروکراسیس در برگیرنده مراحل انطباق ماتریسی مثل Y بر روی ماتریس دیگری مثل X است تا جایی که کمیت

$$\sum_{r=1}^n (x_r - cA'y_r - b)'(x_r - cA'y_r - b)$$

که به فاصله پروکراسیس معروف است، کمینه شود به قسمی که x_r و y_r به ترتیب سطرهای ماتریس‌های X و Y هستند. حال اگر ماتریس‌های X و Y حاوی مختصات دو شیء باشند، آنگاه براساس این تحلیل به شیء اول اجازه داده می‌شود به سمت شیء دوم تغییر مکان پیدا کرده، در صورت نیاز اندازه خود را با آن یکی

^۶ Procrustes coordinates



شکل ۲: نمودار میانگین بوک استاین شکل فمور

نموده و تا جایی دوران پیدا کند که بتواند بر آن منطبق شود. مختصات حاصل از اعمال این تبدیلات روی شیء مورد مطالعه مختصات پروکراستس نامیده می‌شود. توجه شود که فاصله پروکراستس برای حالتی که بیش از دو شیء در دسترس باشند نیز قابل تعمیم است. در آمارشکل فاصله پروکراستس در حالت اول را معمولی^۷ و در حالت دوم را تام^۸ می‌گویند.

از میان فواصل آماری شکل که در منابع یاد شده آمده، فاصله پروکراستس تام در فضای مماسی^۹ محاسبه می‌شود. فضای مماسی، صفحه مماس بر ابرکره داده‌های شکل است. استفاده از داده‌های تصویر شده در این فضا امکان استفاده از روش‌های معمول آمار چندمتغیره را به محقق می‌دهد. اما شرط استفاده از داده‌های شکل در فضای مماسی، تمرکز مطلوب آنها در فضای شکل است. این فرض در بسیاری از

^۷ Ordinary

^۸ Full

^۹ Tangent space

موارد معقول نیست و استفاده از آن منجر به بهم ریختگی ساختار هندسی اشیاء می شود. در این موارد معیارهای دیگری از فاصله در فضای شکل مطرح می شوند که یکی از آنها فاصله ریمانی^{۱۰} است. این فاصله، طول کمان دایره گذرنده از دو شکل روی ابرکره داده های شکل است. جزئیات بیشتری از این فواصل و ارتباط آنها در درایدن و ماردیا (۱۹۹۸) آمده است.

واضح است که برای دستیابی به میانگین های متفاوت شکل داشتن مبنایی برای ارزیابی تفاوت و اختلاف بین داده های شکل ضروری است. برای مختصات بوک استاین متوسط فاصله اقلیدسی بین مختصات اشیاء و میانگین بوک استاین، مبنایی برای فاصله است. در حالی که براساس مختصات پروکراستس، این معیار توسط فاصله پروکراستس تام به دست می آید. علاوه بر اینها، فواصل دیگری نیز در آمارشکل وجود دارند که جزئیات بیشتری از آنها در اسماں (۱۹۹۶) و درایدن و ماردیا (۱۹۹۸) وجود دارند. به علاوه، بررسی موضوع محاسبه میانگین در فضاهای ناقلیدسی شامل فضای شکل، در کندال و همکاران (۱۹۹۹) و لی و کومه (۲۰۰۰) آمده است.

برای خوشبندی داده های شکل باید بتوان تفکیک دقیقی از میانگین شکل گروه ها به عمل آورد. بخش بعد آزمون برابری میانگین های شکل را به قصد خوشبندی داده های شکل ارائه می کند.

۳ آزمون برابری میانگین های شکل

قبل از تشریح مراحل آزمون برابری میانگین های شکل جزئیات چنین عملی برای داده های چندمتغیره، که قصدی برای حفظ ساختار هندسی آنها در میان نباشد، ارائه می شود. جزئیاتی از این آزمون ها در اکثر کتب استادندارد چندمتغیره مانند ماردیا و همکاران (۱۹۷۹) موجود است.

فرض کنید X_1 و X_2 ماتریس داده های مستقل $n_i \times p$ بعدی و به ازای $i = 1, 2$ تمامی n_i سطر ماتریس X_i مستقل از هم و هر یک

^{۱۰} Reimannian

۲۳۰ خوشبندی آماری داده‌های شکل

دارای توزیع $N_p(\mu_i, \Sigma_i)$ باشند. آنگاه اگر $\mu_1 = \mu_2$ و $\Sigma_1 = \Sigma_2$ ، آماره $Q = (n_1 n_2 / (n_1 + n_2 - 2))(\bar{X}_1 - \bar{X}_2)' S_u^{-1} (\bar{X}_1 - \bar{X}_2)$ دارای توزیع هتلینگ $T^*(p, n_1 + n_2 - 2)$ است طوری که \bar{X}_i میانگین نمونه i ام و

$$S_u = (n_1 S_1 + n_2 S_2) / (n_1 + n_2 - 2)$$

که در آن S_i ماتریس کوواریانس نمونه i است. بنا به آمار چندمتغیره، چون $T^*(p, m) = \frac{mp}{m-p+1} F_{p, m-p+1}$ می‌توان بر اساس آماره Q و توزیع F ، برابری میانگین دو جامعه مستقل را آزمود.

در صورت نابرابری ماتریس‌های کوواریانس یا نرمال نبودن توزیع داده‌ها، انجام آزمون به صورت ناپارامتری اجتناب‌نایذیر است. فرض کنید X_{1i}, X_{2i} و برای $i = 1, \dots, n_j$ و بهازای $j = 1, 2$ نمونه‌های تصادفی مستقل از جامعه‌هایی با تابع توزیع تجمعی $F(x)$ و $G(x)$ باشند. \bar{X} را بردار میانگین نمونه حاصل از ترکیب این دو مجتمعه و زوایایی که بردارهای $X_{1i} - \bar{X}$ و $X_{2i} - \bar{X}$ با جهت مشتبه محور x هامی‌سازند به صورت بردارهای رتبه (r_1, \dots, r_{n_1}) و (r'_1, \dots, r'_{n_2}) در نظر $H_1 : F(x) = G(x + \delta)$ در مقابل $H_0 : F(x) = G(x)$ برای آزمون فرضیه بهازای $\delta \neq 0$ از آماره

$$U = \frac{2(N-1)}{n_1 n_2} \left\{ \left(\sum_{i=1}^{n_1} \cos \frac{2\pi r_i}{N} \right)^2 + \left(\sum_{i=1}^{n_2} \sin \frac{2\pi r_i}{N} \right)^2 \right\}$$

استفاده می‌شود، که در آن $N = n_1 + n_2$. وقتی $n_1, n_2 \rightarrow \infty$ و $\beta \rightarrow \frac{n_1}{n_2}$ که $1 < \beta < 0$ ، آنگاه تحت H_0 به طور مجانبی داریم: $U \sim \chi^2_{\nu}$ در نتیجه H_0 بهازای مقادیر بزرگ U رد می‌شود.

برای به کارگیری این آزمون‌ها راجع به داده‌های مقاله حاضر، مقادیر مختصات نقاط شاخص به عنوان متغیر در نظر گرفته شده‌اند. بنابراین ماتریس داده‌ها، ماتریسی با بعد 24×68 است که بنا به متغیر سمت به دو گروه راست و چپ، هر یک شامل ۳۴ مشاهده تقسیم شده، ولی بنا به متغیر وضعیت به دو گروه با تعداد ۵۲ و ۱۶ تایی به ترتیب برای حالت‌های عاجی شده و عاجی نشده تقسیم می‌شوند. نتیجه این آزمون به دو صورت پارامتری و ناپارامتری در جدول ۱ آمده است طوری که

برای اجرای آزمون ناپارامتری، تعداد بازنمونه‌گیری ۱۰۰۰ اختیار شده است.

جدول ۱: p -مقدار آزمون مقایسه چندمتغیره میانگین‌ها

روش آزمون	
متغیر	پارامتری
نایپارامتری	$e^{-\frac{1}{6}}$
$< e^{-\frac{1}{6}}$	$< e^{-\frac{1}{6}}$
سمت	
۰/۰۱۷۴	۰/۰۱۸۷۷
وضعیت	

بنا به این جدول و براساس هر دو نوع آزمون، میانگین‌های دو گروه چپ و راست متفاوت ولی میانگین‌های دو گروه عاجی شده و عاجی نشده یکسان هستند. بنابراین انتظار می‌رود تحلیل خوشیه‌ای داده‌های استخوان فمور ران با ابزار آمار چندمتغیره و بدون لحاظ ویژگی هندسی آن‌ها تنها قادر به دسته‌بندی داده‌ها به دو گروه چپ و راست بوده ولی نمی‌تواند آن‌ها را بنا به ویژگی عاجی بودن دسته‌بندی کند.

اکنون مقایسه میانگین گروه‌ها براساس هر یک از متغیرها و البته با مدنظر قرار دادن ساختار هندسی به عنوان یک ویژگی مؤثر مدنظر قرار می‌گیرد. آزمون‌های متفاوتی برای ارزیابی برابری میانگین‌های شکل وجود دارند (داریدن و ماردیا، ۱۹۹۸). ساده‌ترین و در عین حال مرسوم‌ترین روش، تصویر مختصات از فضای شکل به فضای مماسی و سپس اجرای آزمون دو نمونه‌ای مستقل T^2 هتلینگ است (کنت، ۱۹۹۴). واضح است که شرط مورد نیاز برای اجرای این آزمون، نرمال بودن مختصات تصویر شده و هم‌واریانسی بین دو گروه مورد بررسی است.

آزمون گودال^{۱۱} یکی دیگر از آزمون‌های آمارشکل برای مقایسه میانگین‌های دو نمونه مستقل است (گودال، ۱۹۹۱). فرض مورد نیاز برای اجرای این آزمون، کوچک بودن واریانس مشترک مختصات‌هاست. این فرض در منابع آمارشکل به فرض همسانگردی ماتریس‌های کوواریانس دو گروه معروف است. ممکن است در بعضی از موارد واریانس دو جامعه مورد مقایسه با هم فرق داشته

^{۱۱} Goodall

باشند. در این صورت آماره جیمز^{۱۲} ابزار مناسبی برای آزمون تساوی دو میانگین شکل است (آمارال و همکاران، ۲۰۰۷). در بعضی موارد نادر توصیه شده است که بدون محدود شدن به فضای غیراقلیدسی شکل، مقایسه میانگین‌ها را براساس نسبت درستنمایی تعمیم یافته (کسلا و برگر، ۲۰۰۲) انجام داد. آماره حاصل از این رویکرد به آماره لامبدا معروف است (آمارال و همکاران، ۲۰۰۷). در ادامه خلاصه‌ای از این آزمون‌ها می‌آید.

۱.۳ آزمون T^2 هتلینگ

دو نمونه تصادفی X_1, \dots, X_{n_1} و Y_1, \dots, Y_{n_2} از دو جامعه مستقل با میانگین‌های شکل $[\mu_1]$ و $[\mu_2]$ را در نظر بگیرید، طوری که هر کدام از X_i و Y_j به ازای $i = 1, \dots, n_1$ ، $j = 1, \dots, n_2$ نمایانگر ماتریس‌های پیکره‌بندی شامل نقطه شاخص در m بعد هستند. برای آزمون $[\mu_2] = [\mu_1] : H_0$ در مقابل $[\mu_2] \neq [\mu_1] : H_1$ ابتدا مشاهدات شکل به فضای مماسی تصویر می‌شوند. توجه کنید که در این حالت، $\bar{\mu}$ میانگین پروکراستس متشابه تلفیق شده دو نمونه است. اگر مقادیر مختصات پروکراستس متناظر، به ترتیب با v_1, \dots, v_{n_1} و w_1, \dots, w_{n_2} نشان داده شود، به دلیل قرار داشتن در فضای اقلیدسی می‌توان توزیع آنها را نرمال در نظر گرفت. به این ترتیب، فرض می‌شود:

$$v_i \sim N(\xi_1, \Sigma), \quad i = 1, \dots, n_1, \quad w_j \sim N(\xi_2, \Sigma), \quad j = 1, \dots, n_2.$$

مشابه آزمون T^2 هتلینگ در حالت چندمتغیره استاندارد، در این حالت از آماره $S_u^- H^2 = (\bar{v} - \bar{w})' S_u^- (\bar{v} - \bar{w})$ استفاده می‌شود که \bar{v} و \bar{w} میانگین‌های دو نمونه و S_u^- معکوس مون-پنروز واریانس نمونه‌ای ادغام شده است. تحت فرض صفر، آماره

$$F = \frac{n_1 n_2 (n_1 + n_2 - M - 1)}{(n_1 + n_2)(n_1 + n_2 - 2)M} H^2 \quad (1)$$

دارای توزیع $F_{M, n_1 + n_2 - M - 1}$ است طوری که \bar{v} و \bar{w} میانگین‌های دو نمونه و S_u^- معکوس مون-پنروز واریانس نمونه‌ای ادغام شده است. توجه شود که M نمایانگر بعد داده‌های شکل است.

^{۱۲} James

در صورتی که فرض برابری ماتریس‌های کوواریانس یا لحاظ توزیع نرمال برای مختصات پروکراسیس برقرار نباشد، از معادل ناپارامتری آزمون (۱) استفاده می‌شود. در این حالت داده‌ها در دو گروه با حجم یکسان جایگشت شده و آماره آزمون برای تمامی B جایگشت ممکن محاسبه می‌گردد. آن‌گاه، p -مقدار آزمون $\frac{1}{B} - \frac{r-1}{B}$ خواهد بود که r رتبه آماره آزمون براساس داده‌های مشاهده شده است (کنت، ۱۹۹۴).

۲.۳ آزمون F گودال

برای آزمون میانگین‌های شکل، می‌توان از آماره‌هایی براساس توان دوم فواصل پروکراسیس و توزیع آماری مرتبط با این فواصل استفاده کرد (گودال، ۱۹۹۱). برای تشریح دقیق‌تر آزمون F گودال، فرض کنید مشاهدات شکل از جوامعی با مدل خطی

$$X_i = \beta_i(\mu + E_i)\Gamma_i + \gamma'_i, \quad \text{vec}(E_i) \sim N(\mathbf{0}, \sigma^2 I_{km})$$

تولید شده‌اند که $\beta_i \in R^m$ و $\Gamma_i \in SO(m)$ به ترتیب پارامترهای مقیاس، دوران و مکان بوده و vec عملگر برداری‌کننده است. در اینجا X_i ماتریسی $k \times m$ و μ ماتریس‌های $m \times m$ ماتریس Γ_i و E_i ماتریس شرایطی هستند.

تحت فرض صفر $[\mu_2] = [\mu_1]$ و با قبول فرض برابری ماتریس کوواریانس‌های برای دو مجموعه ماتریس‌های پیکره‌بندی، گودال (۱۹۹۱) ثابت کرده است

$$\begin{aligned} \sum_{i=1}^{n_1} d_F^2(X_i, \hat{\mu}_1) &\sim \tau_0^2 \chi_{(n_1-1)M}^2, \\ \sum_{i=1}^{n_2} d_F^2(Y_i, \hat{\mu}_1) &\sim \tau_0^2 \chi_{(n_2-1)M}^2, \\ d_F^2(\hat{\mu}_1, \hat{\mu}_2) &\sim \tau_0^2 \left(\frac{1}{n_1} + \frac{1}{n_2} \right) \chi_M^2. \end{aligned}$$

که در آن کمیت‌های سمت چپ دو به دو از هم مستقل هستند. به علاوه، $\delta_\circ = S(\mu_\circ)$ و $\sigma_\circ = \sigma/\delta_\circ$ که اندازه مرکزی شده μ_\circ است که با استفاده از رابطه

$S(X) = \sqrt{\sum_{i=1}^k \sum_{j=1}^m (X_{ij} - \bar{X}_j)^2}$ به دست می‌آید به قسمی که $\bar{X}_j = \frac{1}{k} X_{ij}$. در نهایت، آماره F گودال به صورت

$$F = \frac{n_1 + n_2 - 2}{n_1^{-1} + n_2^{-1}} \frac{d_F(\hat{\mu}_1, \hat{\mu}_2)}{\sum_{i=1}^{n_1} d_F(X_i, \hat{\mu}_1) + \sum_{i=1}^{n_2} d_F(Y_i, \hat{\mu}_1)} \quad (2)$$

است، که از توزیع $F_{M, (n_1+n_2-2)M}$ پیروی می‌کند و مقادیر بزرگ آن منجر به عدم تائید فرض صفر می‌شود. توجه شود که M همان مقدار در رابطه (۱) است. در صورت عدم برقراری مفروضات آزمون، از حالت ناپارامتری آن استفاده می‌شود. انجام آزمون ناپارامتری در این حالت مشابه جزئیات تشریح شده در انتهای آزمون هتلینگ است، با این تفاوت که در این حالت باید آماره مدنظر براساس رابطه (۲) محاسبه شود.

۳.۳ آزمون جیمز

اگر فرض برابری ماتریس‌های کوواریانس برای دو مجموعه ماتریس‌های پیکربندی برقرار نباشد و شخص در پی آزمونی پارامتری برای مقایسه میانگین‌های شکل باشد، می‌تواند از گونه اصلاح شده آزمون هتلینگ که به آزمون جیمز معروف است (آمارال و همکاران، ۲۰۰۷)، استفاده نماید. در این حالت فرض نرمال بودن مشاهدات کماکان از ضروریات آزمون است.

با همان نمادگذاری مرسوم دو زیربخش قبلی آماره آزمون جیمز عبارتست از:

$$F_J = (\bar{v} - \bar{w})' \left(\frac{1}{n_1} S_1 + \frac{1}{n_2} S_2 \right)^{-1} (\bar{v} - \bar{w}). \quad (3)$$

همان‌طور که انتظار می‌رود در این حالت، $F_J \sim \chi_M^2$. در صورت عدم برقراری مفروضات این آزمون، از حالت ناپارامتری آن استفاده می‌شود، که انجام آن نیز مشابه جزئیات تشریح شده در انتهای آزمون هتلینگ است، با این تفاوت که در این حالت آماره آزمون بر اساس رابطه (۳) محاسبه می‌شود.

اکنون می‌توان آزمون برابری میانگین‌های شکل را برای داده‌های استخوان فمور ران بکار گرفت. نتیجه آزمون برابری میانگین‌ها شامل p -مقدارهای آزمون با

استفاده از جداول آماری مرتبط و همچنین بر اساس بازنمونه‌گیری در جدول ۲ ارائه شده است. همان‌طور که ملاحظه می‌شود نمی‌توان در سطح ۱٪ تفاوتی بین میانگین‌های شکل دو گروه پای چپ و راست قائل شد. لذا، مشابه آنچه که در برداشت عامیانه در خصوص تقارن بین پاهای افراد وجود دارد، ملاحظه می‌شود که شکل استخوان‌های چپ و راست (از نقطه نظر هندسی) افراد مورد مطالعه با هم یکسان است.

جدول ۲: p -مقدار آزمون مقایسه میانگین‌های شکل

آزمون	سمت	وضعیت
هتلینگ	۰/۴۵۷۵	۰/۳۷۳۱
	۰/۴۲۵۷	۰/۲۹۷۰
جیمز	۰/۳۳۷	۰/۳۹۸
	۰/۴۰۵۹	۰/۷۵۲۵
گودال	۰/۹۹۷۵	۰/۹۶۱۲
	۰/۱۹۹۰	۰/۱۵۴۲

به طور مشابه می‌توان آزمون مقایسه میانگین‌های شکل را برای داده‌های استخوان براساس متغیر "وضعیت" انجام داد. به عبارتی دیگر، هدف مقایسه متوسط شکل دو گروه عاجی شده و نشده است. نتایج محاسباتی برای این فرضیه در ستون آخر جدول ۲ آمده است. همان‌طور که ملاحظه می‌شود p -مقدارها از فرضیه برابری میانگین شکل دو گروه حمایت می‌کنند.

نتیجه کلی این بخش نشان می‌دهد که تفاوتی بین میانگین‌های شکل استخوان‌های فمور ران چپ و راست و همچنین استخوان‌های عاجی شده و نشده وجود ندارد. لذا، انتظار می‌رود تحلیل خوش‌های استخوان‌ها با کمک آمارشکل قادر به دسته‌بندی استخوان پاهای چپ و راست و همچنین عاجی شده و نشده نباشد. به عبارتی دیگر، شواهد ماحصل از آمار چندمتغیره مبنی بر تفاوت بین دو گروه، بدون توجه به ساختار هندسی استخوان‌هاست و گرنه آن‌ها از نظر شکلی شبیه هم هستند.

۴ تحلیل خوشه‌ای داده‌های استخوان

در این قسمت برای تحلیل خوشه‌بندی داده‌های استخوان از روش سلسله مراتبی استفاده شده است. همچنین، دو رویکرد آمارشکل و آمار چندمتغیره مورد مقایسه قرار گرفت تا بتوان درک بهتری از تحلیل آمارشکل ارائه نمود. علاوه بر این، سعی شد هنگام تحلیل چندمتغیره استاندارد با اتخاذ دو رویکرد متفاوت در منظور نمودن داده‌ها در ماتریس مشاهدات، میزان حساسیت خوشه‌بندی را به طریقی غیرمستقیم مورد ارزیابی قرار داد. لذا، مجموعه مختصات نقاط به دو شیوه ذیل وارد تحلیل شدند:

- ورود مختصات ۱۲ نقطه شاخص بر اساس مختصات دکارتی x و y
- ورود مختصات x به طور جداگانه بدون در نظر گرفتن مختصات y و برعکس

به علاوه تمامی مختصات به صورت مؤلفه به مؤلفه استاندارد شدند. در نهایت تلاش شد فواصل متفاوت موجود در آمار چندمتغیره مورد استفاده قرار گیرد تا دید و سیع تری از لحاظ خوشه‌بندی داده‌های مورد مطالعه، توسط آمار چندمتغیره به دست آید.

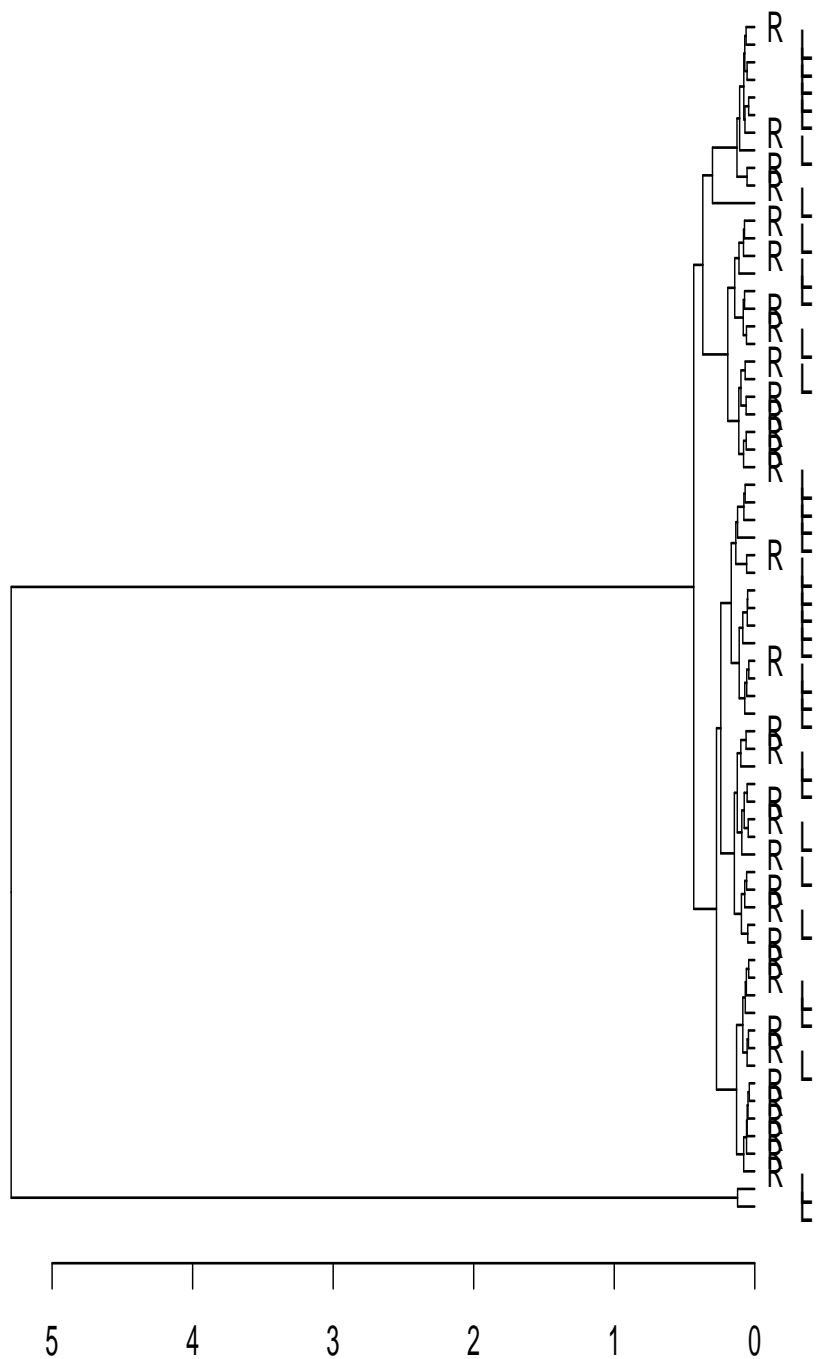
یک نمایش شماتیک از اجرای خوشه‌بندی برای درک بهتر از تحلیل‌های صورت گرفته، مفید خواهد بود. به خصوص خوشه‌بندی داده‌های شکل، دریچه جدیدی از تحلیل چندمتغیره با رویکردن نوین ارائه می‌کند. نتیجه خروجی یکی از روش‌ها در شکل ۳ آمده است. بیان این نکته ضروری است که برای یکپارچه‌سازی خروجی حاصل از نرم‌افزار R تعدیل بخشی از درختواره ضروری می‌نمود. مثلاً، کلمات R و L که به ترتیب معرف استخوان فمور پای راست و چپ هستند، بزرگتر از اندازه خودشان رسم شده‌اند تا واضح درختواره بیشتر شود. با این حال، در بعضی از موارد، نمایش حاصل مطلوب نشده است. علی‌رغم این موضوع، همان‌طور که از شکل ۳ ملاحظه می‌شود این برچسب‌ها به صورت نامنظم پراکنده شده‌اند. به عبارتی دیگر، نمی‌توان تفکیک دقیقی بین مشاهدات موجود بر حسب دو ویژگی متفاوت متغیر "سمت" قائل شد. علاوه بر این، اندازه خوشه‌ها نیز ناهمگون هستند در

حالی که تعداد برقسپها برابرند. تفاوت ناهمگون خوشها که به طریقی منعکس کننده فاصله نمونهها از هم هستند، نیز قابل تأمل است.

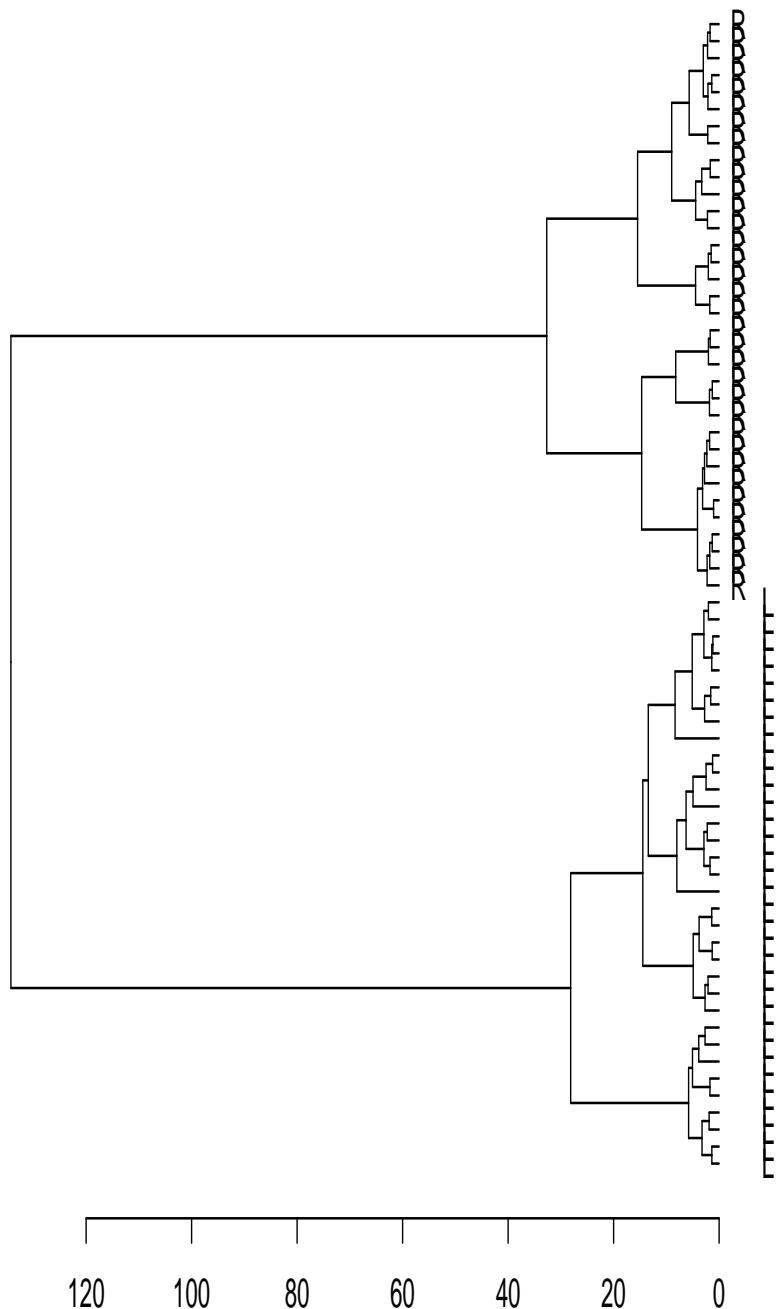
برای مقایسه چشمی تفاوت استفاده از رویکرد آمار چندمتغیره و آمارشکل در خوشبندی داده‌های استخوان، یکی از نمودار درختواره حاصل از اجرای روش سلسله مراتبی با استفاده از متر اقلیدسی اما بدون لحاظ ویژگی هندسی داده‌ها در شکل ۴ آمده است. ملاحظه می‌شود خوشها در دو دسته مجزا تفکیک شده‌اند. این امر با توجه به معنی دار شدن تفاوت بین میانگین دو گروه در حالت چندمتغیره که نتایج آن در جدول ۱ ارائه شده بود، قابل انتظار است. به عبارتی دیگر، وقتی که میانگین‌های با برقسپ راست و چپ با هم فرق دارند، آنگاه طبیعی است که آن‌ها می‌باشد در دو دسته مجزا قرار گیرند.

به طور کلی تقابل بین آمارشکل و آمار چندمتغیره استاندارد از این حیث حائز اهمیت است که معرفی و ارزیابی معیارهای نوینی از فاصله برای هر کدام از این دو رویکرد ضروری است. به عبارت دیگر، به دست آوردن معیارهایی از یک رویکرد برای رویکرد دیگری و مقایسه نتیجه حاصل با یک محدودیت منطقی نخواهد بود. همان‌طور که مشاهده شد چون شکل دو گروه داده براساس متغیرهای "سمت" و "وضعیت" یکسان بودند، استفاده از فاصله‌های بین اشکال که در منابع آمارشکل مثل داریدن و ماردیا (۱۹۹۸) وجود دارد، داده‌های شکل مورد مطالعه را به حق خوشبندی می‌کند. از طرف دیگر، یکی از دلایل خوشبندی مناسب داده‌های استخوان توسط رویکرد آمار چندمتغیره، وجود تفاوت طبیعی بین مختصات نقاط شاخص در دو گروه است نه شکل آن‌ها. لذا، شکل ۴ تفاوت بین مختصات در هر کدام از نمونه داده‌ها را به نمایش گذاشته است. بنابراین می‌توان نتیجه گرفت که اگر شخصی بخواهد داده‌های مورد مطالعه‌اش را با درنظر گرفتن ویژگی هندسی، و به طور دقیق‌تر بر اساس شکل، آنها دسته‌بندی کند، باید از اطلاعات شکل، با مفهومی که کنдал (۱۹۷۷) ارائه کرده است، برای این منظور استفاده نماید. استفاده صرف از مقادیر مختصات اشیاء منجر به نتایج مناسبی نخواهد شد. به زبانی ساده، ممکن است دو شیء با مختصات متفاوت، دربردارنده اطلاعات هندسی یکسانی باشند. به عنوان مثال، اگرچه مختصات شکل صورت یک فرد که توسط نقاش و

خوشه‌بندی آماری داده‌های شکل ۲۳۸



شکل ۳: نمودار درختواره خوشه‌بندی داده‌های استخوان با آمارشکل



شکل ۴: نمودار درختواره خوشه‌بندی داده‌های استخوان با آمار چندمتغیره

عکاس ثبت می‌شود با هم فرق دارند اما شکل آن‌ها یکسان بوده و همان فرد مورد نظر را معروفی می‌کنند.

نکته مورد علاقه محققین در اجرای تحلیل خوشبندی، مقایسه روش‌های متفاوت با استفاده از برخی معیارهای مناسب کمی است. با اغماض از تقابل مورد اشاره در بالا (در مورد آمارشکل و آمار استاندارد چندمتغیره)، یک معیار کمی می‌تواند محدودیتی را برای انتخاب بهترین روش خوشبندی از بین روش‌های موجود، ارائه کند. تعدادی از این معیارها در هندل و همکاران (۲۰۰۵) آمده است. یکی از آن‌ها معیار *Dunn* است که برای یک روش خوشبندی مثل C ، از رابطه

$$D(C) = \frac{\min_{C_k, C_l \in C} \{ \min_{i \in C_k, j \in C_l} dist(i, j) \}}{\max_{C_m \in C} diam(C_m)}$$

به دست می‌آید، که در آن C_i خوشبندی i ام، $diam$ ماکسیمم فاصله بین مشاهدات در خوشبندی i است. مقادیر معیار $D(C)$ از صفر تا بی‌نهایت تغییر می‌کند و هرچه این مقدار بیشتر باشد، روش خوشبندی موردنظر مطلوب‌تر است. مقدار این معیار برای تمامی روش‌های ادغامی خوشبندی منجر به عددی بسیار مشابه شد. لذا، نمی‌توان یکی از روش‌ها را نسبت به دیگری ترجیح داد.

بحث و نتیجه‌گیری

در مقاله حاضر جزئیاتی از نحوه خوشبندی داده‌هایی که معرف شکل هستند ارائه گردید و از برخی فواصل مرسوم آمارشکل برای اجرای تحلیل خوشبندی کمک گرفته شد. نتایج نشان داد که ماهیت آمارشکل و بهویژه فضای ناقلیل‌دستی آن دقت بیش از پیشی را طلب می‌کند. به عنوان مثال، اگرچه ممکن است تفکیک گروه‌ها توسط آزمون فرضیه‌های آماری تأیید گردد، لیکن نمی‌توان انتظار چنین تفکیکی را از تحلیل خوشبندی داشت. لذا، بنا به ویژگی توپولوژیکی فضای شکل، تحلیل خوشبندی برای آمارشکل نیازمند مطالعه و معرفی تعمیم ویژه‌ای از آن است.

تحقیقات آتی در این حوزه از آمارشکل می‌تواند به صورت‌های متفاوتی بسط داده شود. ممکن است به کارگیری گونه دیگری از فواصل آماری برای داده‌های شکل بتواند توصیف مناسب‌تری از نحوه خوشبندی ارائه کند. یکی از این فواصل،

۲۴۱ مهناز نبیل، موسی گل علیزاده

فاصله اندازه-شکل^{۱۳} است. مطالعه تحلیل خوشبندی با این رویکرد می‌تواند مدنظر علاقه‌مندان به این حوزه از آمار قرار گیرد. استفاده از معیارهای فاصله‌ی ناقلیدسی دیگر مثل فاصله ژئودزیک (فلتچر و همکاران، ۲۰۰۳؛ فلتچر و همکاران، ۲۰۰۴) و امکان‌سنجی روش‌های دیگر تحلیل خوشبندی مثل روش مدل‌مبنا نیز برای تحقیقات آتی حائز توجه هستند. علاوه بر این، بررسی تمامی این موضوعات با رویکرد آمار بیزی نیز می‌تواند مورد توجه محققین علاقه‌مند به این حوزه قرار گیرد.

تقدیر و تشکر

نویسنده‌اند کان مقاله از نظرات سازنده و مفید داوران محترم که در بهبود مقاله حاضر بسیار موثر بوده است، کمال تشکر را دارند.

مراجع

- Amaral, G. J .A., Dore, L. H., Lessa, R. P. and Stosic, B. (2010), K-means Algorithm in Statistical Shape Analysis, *Communications in Statistics - Simulation and Computation*, **39**, 1016-1026.
- Amaral, G. J .A., Dryden, I. L. and Wood, A. T. W. (2007), Pivotal Bootstrap Methods for K-sample Problems in Directional Statistics and Shape Analysis, *Journal of the American Statistical Association*, **102**, 695-707.
- Bookstein, F. L. (1978), *The Measurment of Biological Shape and Shape Change*, Lecture Notes on Biomathematics, Springer, New York.

^{۱۳} Size-and-shape distance

خوشه‌بندی آماری داده‌های شکل ۲۴۲

- Bookstein, F. L. (1986), Size and Shape Spaces for Landmark Data in Two Dimensions (with discussion), *Statistical Sciences*, **1**, 181-242.
- Casella, G. and Berger, R. L. (2002), *Statistical Inference*, 2nd Ed., Thomson Learning, Duxbury.
- Dryden, I. L. and Mardia, K. V. (1998), *Statistical Shape Analysis*, John Wiley, Chichester.
- Durrleman, S., Pennec, X., Trouvé, A., Braga, J., Gerig, G. and Ayache, N. (2013), Toward a Comprehensive Framework for the Spatio Temporal Statistical Analysis of Longitudinal Shape Data, *International Journal of Computer Vision*, **103**, 22-59.
- Fletcher, P. T., Joshi, S., Lu, C. and Pizer, S. M. (2004), Principal Geodesic Analysis for the Study of Nonlinear Statistics of Shape, *IEEE Transactions on Medical Imaging*, **23**, 995-1005.
- Fletcher, P. T., Lu, C. and Joshi, S. (2003), Statistics of Shape via Principal Geodesic Analysis on Lie Groups, In *Proceedings of IEEE Conference on Computer Vision and Pattern Recognition*, 95-101.
- Goodall, C. R. (1991), Procrustes Methods in the Statistical Analysis of Shape (with discussion), *Journal of the Royal Statistical Society, B*, **53**, 285-339.
- Handel, J., Knowles, J. and Kell, D. B. (2005), Computational Cluster Validation in Post-Genomic Data Analysis, *Bioinformatics*, **21**, 3201-3212.
- Ishihara, S., Ishihara, K. and Nagamachi, M. (2011), Statistical Shape Analysis of Headlights, In *Proceedings of IEEE International Conference on Image Processing*, 1377-1380.

۲۴۳ مهناز نبیل، موسی گل علیزاده

ence on Biometrics and Kansei Engineering, 27-32.

Kendall, D. G. (1977), The Diffusion of Shape, *Advances in Applied Probability*, **9**, 428-430.

Kendall, D. G. (1984), Shape Manifolds, Procrustean Metrics and Complex Projective Spaces, *Bulletin of the London Mathematical Society*, **16**, 81-121.

Kendall, D. G., Barden, D., Carne, T. K. and Le, H. L. (1999), *Shape and Shape Theory*, John Wiley, Chichester.

Kent, J. T. (1994), The Complex Bingham Distribution and Shape Analysis, *Journal of the Royal Statistical Society, B*, **56**, 285-299.

Le, H. L. and Kume, A. (2000), The Fréchet Mean and the Shape of the Means, *Advances in Applied Probability*, **32**, 101-114.

Mardia, K. V., Kent, J. T. and Bibby, J. M. (1979) *Multivariate Analysis*, Academic Press, London.

Pennec, X. (1999), Probabilities and Statistics on Riemannian Manifolds: Basic Tools for Geometric Measurements, In *Proceedings of Nonlinear Signal and Image Processing*, 194-198.

Shepstone, L., Rogers, J., Kirwan, J. R. and Silverman, B. (1999), The Shape of the Distal Femur: A Comparison Between Eburnated and Non-Eburnated, *Annals of the Rheumatic Diseases*, **58**, 72-78.

Small, G. (1996), *The Statistical Theory of Shape*, Springer, New York.

Srivastava, A., Joshi, S. H., Mio, W. and Liu, X. (2005), Statistical Shape Analysis: Clustering, Learning and Testing, *IEEE Transactions On Pattern Analysis and Machine Intelligence*, **27**, 590-602.